

การพัฒนาเทคนิคขั้นสูงสำหรับการวัดพิกัด 3 มิติ ของวัตถุที่มีผิวซับซ้อน โดยใช้ภาพ stereovideo

นายเกียรติศักดิ์ ศรีตระกูลชัย

วิทยานิพนธ์นี้เป็นส่วนหนึ่งของการศึกษาตามหลักสูตรปริญญาวิศวกรรมศาสตรดุษฎีบัณฑิต^๑
สาขาวิศวกรรมเครื่องกล ภาควิชาชีวกรรมเครื่องกล
คณะวิศวกรรมศาสตร์ จุฬาลงกรณ์มหาวิทยาลัย
ปีการศึกษา 2547
ISBN 974-53-1073-5
ลิขสิทธิ์ของจุฬาลงกรณ์มหาวิทยาลัย

THE DEVELOPMENT OF AN ADVANCED TECHNIQUE FOR 3-D
COORDINATE MEASUREMENT OF COMPLEX SURFACES USING
STEREO VISION

Mr. Kiattisak Sitrakulchai

A Dissertation Submitted in Partial Fulfillment of the Requirements
for the Degree of Doctor of Engineering in Mechanical Engineering

Department of Mechanical Engineering

Faculty of Engineering

Chulalongkorn University

Academic year 2004

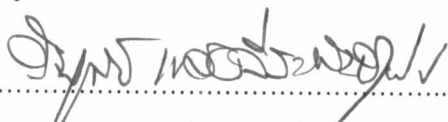
ISBN 974-53-1073-5

หัวข้อวิทยานิพนธ์ การพัฒนาเทคโนโลยีขั้นสูงสำหรับการวัดพิกัด 3 มิติ ของวัตถุที่มีผิวซับซ้อน
โดย โดยใช้ภาพ stereoview
สาขาวิชา นายนภิรติศักดิ์ ศรีทะกาลชัย
อาจารย์ที่ปรึกษา วิศวกรรมเครื่องกล
รองศาสตราจารย์ ดร.วินูลย์ แสงวีระพันธุ์ศิริ

คณะกรรมการศาสตร์ จุฬาลงกรณ์มหาวิทยาลัย อนุมัติให้นับวิทยานิพนธ์ฉบับนี้เป็นส่วน
หนึ่งของการศึกษาตามหลักสูตรปริญญาคุณวุฒิบัณฑิต

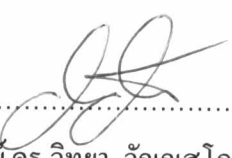
 คณะกรรมการศาสตร์
(ศาสตราจารย์ ดร.ดิเรก ลาวันนิคิริ)

คณะกรรมการสอบวิทยานิพนธ์

 ประธานกรรมการ
(ผู้ช่วยศาสตราจารย์ ดร.รัชพนธ์ จันทร์เจริญ)
 อาจารย์ที่ปรึกษา
(รองศาสตราจารย์ ดร.วินูลย์ แสงวีระพันธุ์ศิริ)

๒๐๑๗.  กรรมการ
(พลอากาศตรี ศาสตราจารย์ ดร.สมนึก พาลีบัตร)

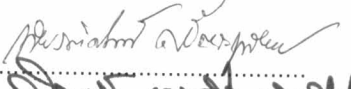
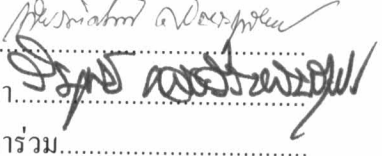
 กรรมการ
(ผู้ช่วยศาสตราจารย์ ดร.ชัยโรจน์ คุณพนิชกิจ)

 กรรมการ
(อาจารย์ ดร.วิทยา วนวัฒสุโกประสิทธิ์)

เกียรติศักดิ์ ศรีตระกูลชัย : การพัฒนาเทคนิคขั้นสูงสำหรับการวัดพิภพ 3 มิติ ของวัตถุที่มีผิว
ซับซ้อนโดยใช้ภาพ stereovision. (THE DEVELOPMENT OF AN ADVANCED
TECHNIQUE FOR 3-D COORDINATE MEASUREMENT OF COMPLEX
SURFACES USING STEREO VISION)

อ. ที่ปรึกษา : รศ.ดร. วิญลย์ แสงวีระพันธุ์ศิริ, 100 หน้า. ISBN 974-53-1073 -5.

วิทยานิพนธ์นี้ได้คิดค้นและพัฒนาเทคนิคใหม่สำหรับสร้างโครงสร้างตาข่ายสามเหลี่ยม (Triangular Mesh) สำหรับแบบจำลอง STL (STL Model) จากข้อมูลจุดของผิววัตถุซึ่งไม่มีรูปความสัมพันธ์ระหว่างข้อมูลจุด (Unorganized Points) โดยตรง ซึ่งได้พัฒนาอัลกอริทึมการจัดการและคัดแยกข้อมูลจุด (Organizing and Clustering) แบบโครงสร้างสืบทอดปรับตัวเองได้สองระดับ (Two-Level Adaptive Hierarchical Clustering Algorithm) ข้อมูลจุดที่อยู่ในโครงสร้างสืบทอดสองระดับจะเป็นข้อมูลจุดที่ได้ถูกคัดแยกอย่างเหมาะสมเพื่อใช้ในการสร้างแบบจำลอง STL นอกจากนั้นยังได้พัฒนาอัลกอริทึมสำหรับปรับการเชื่อมโยงโครงสร้างตาข่ายสามเหลี่ยมแบบปรับตัวเองได้ (Adaptive Self-Adjustable Connectivity of Triangular Mesh Structure Algorithm) เพื่อให้ลักษณะโครงสร้างตาข่ายสามเหลี่ยมมีคุณภาพที่ดี ผลลัพธ์ของการทดลองแสดงให้เห็นว่าเทคนิคที่ได้พัฒนาขึ้นนี้มีประสิทธิภาพในการสร้างแบบจำลอง STL ของผิววัตถุที่มีความซับซ้อน เช่น แบบจำลองพื้นผิวที่ไม่ต่อเนื่องแบบเปิดที่มีรูและไม่มีรูอยู่ภายใน และแบบจำลองพื้นผิวแบบปิด นอกจากนั้นแบบจำลอง STL สามารถนำไปใช้งานกับโปรแกรมประยุกต์ในงานทางด้านการออกแบบและผลิตผลิตภัณฑ์ที่มีอยู่ทั่วไปได้

ภาควิชา.....	วิศวกรรมเครื่องกล.....	ลายมือชื่อนิสิต.....	
สาขาวิชา.....	วิศวกรรมเครื่องกล.....	ลายมือชื่ออาจารย์ที่ปรึกษา.....	
ปีการศึกษา.....	2547.....	ลายมือชื่ออาจารย์ที่ปรึกษาร่วม.....	

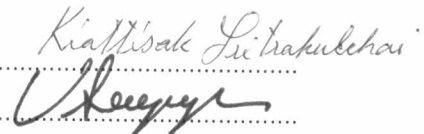
4371802021 : MAJOR MECHANICAL ENGINEERING
KEY WORD: ADVANCED TECHNIQUE / 3-D COORDINATE MEASUREMENT
/ COMPLEX SURFACES

KIATTISAK SRITRAKULCHAI: THE DEVELOPMENT OF AN
ADVANCED TECHNIQUE FOR 3-D COORDINATE MEASUREMENT OF
COMPLEX SURFACES USING STEREO VISION.

THESIS ADVISOR: ASSOC.PROF.VIBOON SANGVERAPHUNSIRI, Ph.D,
100 pp. ISBN 974-53-1073-5.

In this dissertation, the novel technique for surface reconstruction of the unorganized cloud points. The technique begins with the organization of the cloud points by using the two-level adaptive hierarchical clustering algorithm which is developed by the authors. We also develop an adaptive self-adjustable connectivity to improve triangular mesh structure. The result is that better mesh surfaces can be obtained. Experimental results have shown that these techniques work satisfactorily for complex surfaces, such as open surface models, discontinuous surface, for example, a surface with holes and without holes, as well as close surface models. In addition, the surface model in STL format can be imported to commercial CAD/CAM software for extended applications.

Department Mechanical Engineering Student's signature.....
Field of study Mechanical Engineering Advisor's signature.....
Academic year 2004 Co-advisor's signature.....

Kiattisak Sitrakulchai


กิตติกรรมประกาศ

วิทยานิพนธ์ฉบับนี้สำเร็จลุล่วงไปได้ด้วยความช่วยเหลืออย่างดีเยี่ยมของ รศ.ดร. วินูลย์ แสงวีระพันธุ์ศิริ อาจารย์ที่ปรึกษาวิทยานิพนธ์ ซึ่งท่านได้เคยให้คำแนะนำ ข้อคิดเห็น และความรู้ต่างๆ ที่มีประโยชน์ในการทำวิจัยครั้งนี้ รวมทั้งโอกาสเดียว ที่ท่านให้ เพื่อฝึกฝนตัวเองและหาความรู้ทางด้านต่างๆ มากmany พร้อมทั้งขอสนับสนุนทางด้านอุปกรณ์ เงินทุน และสถานที่ในการทำวิจัยมาด้วยดีโดยตลอด จนงานสำเร็จลุล่วงไปด้วยดี จึงได้ขอกราบขอบพระคุณอย่างสูงมา ณ ที่นี่ และขอกราบขอบพระคุณ พล.อ.ต.ส.ดร. สมนึก พาลีบัตร ผศ.ดร. ชัยโรจน์ คุณพนิชกิจ ผศ. ดร. รัชทิน จันทร์เจริญ และ อ.ดร. วิทยา วัฒนาสุ โภประสิทธิ์ ซึ่งกรุณายังคงให้คำแนะนำ และ ข้อคิดเห็นต่างๆ ที่เป็นประโยชน์ในงานวิจัยนี้ และเนื่องจากทุนการวิจัยครั้งนี้บางส่วนได้รับมาจากการอุดหนุนการวิจัยของบัณฑิตวิทยาลัย จึงขอขอบคุณบัณฑิตวิทยาลัยมา ณ โอกาสนี้

สุดท้ายนี้ ผู้วิจัยได้ขอกราบขอบพระคุณอย่างสูงยิ่งแฉะ บิดา มารดา พี่ชาย พี่สาว ซึ่งเคยเป็นกำลังใจอย่างดีเยี่ยมในการฝ่าฟันอุปสรรคต่างๆ ให้ผ่านไปได้ด้วยดี เสมอมา งานสำเร็จ การศึกษา และขอขอบคุณ น้องแพนที่ช่วยตรวจสอบแก้ไขคำผิดในวิทยานิพนธ์นี้ และคอบดูแล ห่วงใย สุขภาพ และเป็นกำลังใจที่ดีเสมอมา ตลอดทั้งของขอบคุณ คุณพงศกร เพชรพันธ์ศรี นิสิตที่ กำลังศึกษาอยู่ในระดับปริญญาโทที่ช่วยสร้างเครื่องมือวัดพิกัด ๓ มิติ ระบบสเตอเรอิโววิชั่นแบบแอน แสงเลเซอร์ และเพื่อนรุ่นพี่ เพื่อน น้องๆ ในห้องปฏิบัติการวิจัยนี้ ที่คอบดูแล ห่วงใย ให้กำลังใจ และช่วยเหลือทางด้านต่างๆ

สารบัญ

หน้า

บทคัดย่อวิทยานิพนธ์ภาษาไทย.....	๑
บทคัดย่อวิทยานิพนธ์ภาษาอังกฤษ.....	๑
กิตติกรรมประกาศ.....	๒
สารบัญ.....	๓
สารบัญภาพ.....	๔

บทที่

1 บทนำ	1
1.1 ความเป็นมาและความสำคัญของปัญหา	1
1.2 วัตถุประสงค์ของการวิจัย	5
1.3 ขอบเขตของการวิจัย	5
1.4 ประโยชน์ที่คาดว่าจะได้รับ	6
1.5 วิธีดำเนินการวิจัย.....	6
2 เอกสารและงานวิจัยที่เกี่ยวข้อง.....	8
2.1 เอกสารและงานวิจัยที่เกี่ยวข้อง	8
2.2 แนวคิดและทฤษฎี	19
2.3 เครื่องมือที่ใช้ในการวิจัย	24
3 เครื่องมือวัดพิกัด 3 มิติบนผิววัตถุ	28
3.1 เครื่องมือวัดพิกัด 3 มิติ ที่พัฒนาขึ้นโดยห้องปฏิบัติการวิจัย	28
4 เทคนิคการจัดการข้อมูลและสร้างแบบจำลอง STL	35
4.1 ระบบการจัดการข้อมูล (Data Management System)	35
4.2 การสร้างโครงสร้างตามเส้นเส้นทาง (The Triangular Mesh Creation)	43
4.3 ไฟล์วัชร์ตของอลกอริทึมการจัดการข้อมูลจุดและสร้างแบบจำลอง STL	56
4.4 ข้อดีของเทคนิควิธีการใหม่ที่นำเสนอในงานวิจัย.....	58
5 ผลการทดลอง	59
5.1 ผลการทดสอบการใช้เครื่องมือวัดพิกัด 3 มิติแบบต่างๆ	60
5.2 ผลการทดสอบการจัดการข้อมูลจุดของผิววัตถุ.....	69
5.3 การทดสอบการสร้างโครงสร้างตามเส้นเส้นทาง(STL)ไฟล์	72
5.4 ผลลัพธ์การเปรียบเทียบกับงานวิจัยที่ผ่านมา	82

	หน้า
6 สรุปผลการวิจัย	86
6.1 สรุปผลการวิจัย	86
6.2 ข้อเสนอแนะ	87
รายการอ้างอิง	89
ภาคผนวก	93
ภาคผนวก ก รูปแบบข้อมูลของแบบจำลอง STL.....	94
ภาคผนวก ข แนวคิดการจัดการและคัดแยกข้อมูลจุดของผิววัตถุ.....	96
ประวัติผู้เขียนวิทยานิพนธ์	100

สารบัญภาพ

๙

ภาพประกอบ	หน้า
รูปที่ 1.1 การสร้างแบบจำลองโซลิด (Solid Model) จากแบบคราฟติ้ง 2 มิติ (2D Drafting).....	1
รูปที่ 1.2 การออกแบบที่มีความซับซ้อนในงานผลิตอย่างต่อเนื่อง.....	2
รูปที่ 1.3 การสร้างแบบจำลองผิวจากข้อมูลจุดของผิวชิ้นงาน	4
รูปที่ 2.1 การหาขอบเขตในการสร้างโครงสร้างตามตัวข่ายสามเหลี่ยมด้วยรัศมี α	9
รูปที่ 2.2 ขอบเขตการสร้างโครงสร้างตามตัวข่ายสามเหลี่ยมเมื่อค่ารัศมี α เป็นไป.....	9
รูปที่ 2.3 การสร้างโครงสร้างตามตัวข่ายสามเหลี่ยมภายในขอบเขตของค่ารัศมี α	9
รูปที่ 2.4 ลักษณะต่างๆ สำหรับการสร้างโครงสร้างตามตัวข่ายสามเหลี่ยม	10
รูปที่ 2.5 ผลการสร้างโครงสร้างตามตัวข่ายสามเหลี่ยมของผิววัตถุจริงเมื่อกำหนดค่า α ต่างๆ.....	10
รูปที่ 2.6 โวโรนอยไ/doeogram (Voronoi Diagram) ของข้อมูลจุด	11
รูปที่ 2.7 รัศมีวงกลมที่เปลี่ยนไปตามความหนาแน่นของข้อมูลจุด.....	12
รูปที่ 2.8 การสร้างโครงสร้างตามตัวข่ายสามเหลี่ยมของโวโรนอยไ/doeogram	12
รูปที่ 2.9 กำหนดจำนวนข้อมูลจุดรอบๆ $k=4$ เพื่อใช้ในการคำนวณระนาบ	13
รูปที่ 2.10 การคำนวณหาจุดศูนย์กลาง (Centroid) ของกลุ่มข้อมูล	13
รูปที่ 2.11 การคำนวณแกนของระนาบสัมผัส (Tangent Plane)	14
รูปที่ 2.12 การฉาย (Project) ระยะทางของข้อมูลจุดกับจุดศูนย์กลางของระนาบสัมผัส	14
รูปที่ 2.13 การขอบเขตของข้อมูลจุดที่เหมาะสมสำหรับสร้างผิวสามเหลี่ยม	15
รูปที่ 2.14 ระบบนิวรอลเน็ตเวิร์กของโครงสร้างตามตัวข่ายสามเหลี่ยม	15
รูปที่ 2.15 การปรับข้อมูลจุดที่ใกล้ที่สุดและข้อมูลจุดบริเวณรอบๆเข้าสู่ข้อมูลจุดของผิววัตถุ.....	16
รูปที่ 2.16 การปรับตำแหน่งจุดปลายของโครงสร้างตามตัวข่ายสามเหลี่ยมเข้าสู่ข้อมูลจุดของผิววัตถุ..	16
รูปที่ 2.17 การเพิ่มจำนวนชิ้นส่วนหรือหน่วยเดียวของโครงสร้างเน็ตเวิร์ก	18
รูปที่ 2.18 ระนาบชิลซ์ (Slicing Plane) ตัดผ่านกับข้อมูลจุดของผิววัตถุ	19
รูปที่ 2.19 การฉาย (Project) ข้อมูลจุดเข้าสู่ระนาบชิลซ์	20
รูปที่ 2.20 ข้อมูลชิลซ์ (Sliced Data) ที่สร้างจากข้อมูลจุดที่ฉายบนระนาบชิลซ์	20
รูปที่ 2.21 เครื่องสร้างต้นแบบอย่างเร็วในห้องปฏิบัติการวิจัย	21
รูปที่ 2.22 โครงสร้างตามตัวข่ายสามเหลี่ยม (Triangular Mesh)	22
รูปที่ 2.23 เครื่องมือวัดพิกัด 3 มิติ แบบสัมผัสกับวัตถุ.....	25
รูปที่ 2.24 เครื่องมือวัดพิกัด 3 มิติ ระบบสเตอร์โอวิชั่นแบบใช้แทนแสงเลเซอร์	25
รูปที่ 2.25 เครื่องมือวัดพิกัด 3 มิติ ระบบสเตอร์โอวิชั่นแบบใช้อินเตอร์เฟอร์โรเมตทริกซ์	26
รูปที่ 2.26 โปรแกรมภาษา Python เพื่อใช้ร่วมกับโปรแกรม Blender	27

ภาพประกอบ	หน้า
รูปที่ 3.1 ระบบสเตอเรอิโววิชั่น (Stereo Vision System)	29
รูปที่ 3.2 แบบจำลองเส้นทางการมองเห็น (Line of Sight) ของ 2 กล้อง.....	29
รูปที่ 3.3 ลักษณะของเรขาคณิตอิพิโพลาร์ (Epipolar Geometry)	30
รูปที่ 3.4 โครงสร้างของเครื่องมือวัดพิกัด 3 มิติ ที่ได้พัฒนาขึ้นในห้องปฏิบัติการวิจัย.....	31
รูปที่ 3.5 การเชื่อมต่ออุปกรณ์ควบคุมมอเตอร์กับคอมพิวเตอร์	31
รูปที่ 3.6 โปรแกรม StereoCMM ที่ใช้ควบคุมการทำงานของเครื่องมือวัดพิกัด 3 มิติ	32
รูปที่ 3.7 แผนผังการทำงานของเครื่องมือวัดพิกัดระบบสเตอเรอิโววิชั่นแบบใช้ແຄນແສງເດເຊອຣ	33
รูปที่ 4.1 การจัดเรียงอันดับของระนาบซีลีฟ์และข้อมูลจุดของแต่ละระนาบซีลีฟ์	35
รูปที่ 4.2 ขบวนการจัดการข้อมูลให้เหมาะสมเพื่อนำไปสร้างผิวโครงสร้างตามข่ายสามเหลี่ยม	37
รูปที่ 4.3 โครงสร้างของข้อมูลการสืบ拓กระดับขึ้น	38
รูปที่ 4.4 โครงสร้างเน็ตเวิร์คพื้นฐาน (Basic Network Structure).....	39
รูปที่ 4.5 ขบวนการการเรียนรู้และเพิ่มโนดข้อมูลเข้าสู่โครงสร้างเน็ตเวิร์ค	41
รูปที่ 4.6 พาร์ติชั่นและพาร์ติชั่นย่อยของข้อมูลจุดภายในโครงสร้างสืบ拓สองระดับ	41
รูปที่ 4.7 ขบวนการลบและการรวมข้อมูลของโครงสร้างสืบ拓กระดับที่หนึ่ง	42
รูปที่ 4.8 ขบวนการลบและการรวมข้อมูลของโครงสร้างสืบ拓กระดับที่สอง	42
รูปที่ 4.9 ทิศทางของเวกเตอร์ตั้งฉากสำหรับผิวสามเหลี่ยมที่ถูกสร้างครั้งแรก	43
รูปที่ 4.10 การสร้างผิวสามเหลี่ยมอื่นๆ หลังจากผิวสามเหลี่ยมแรกถูกสร้างขึ้น	44
รูปที่ 4.11 การค้นหาระยะทางไกลที่สุดระหว่างข้อมูลจุดอินพุตใหม่กับ BTM	45
รูปที่ 4.12 ความสัมพันธ์ของผิวสามเหลี่ยมที่สร้างขึ้นใหม่กับผิวสามเหลี่ยมวินเนอร์.....	46
รูปที่ 4.13 นุ่มนวล化ผิวสามเหลี่ยมที่สร้างขึ้นใหม่กับผิวสามเหลี่ยมวินเนอร์	46
รูปที่ 4.14 ลักษณะผิวสามเหลี่ยมที่สามารถสร้างได้ ในเงื่อนไข $g > 0$, $\theta > \pi/2$ และ $\gamma \leq \pi/2$	47
รูปที่ 4.15 ลักษณะผิวสามเหลี่ยมที่ไม่สามารถสร้างได้ ในเงื่อนไข $g > 0$, $\theta > \pi/2$ และ $\gamma > \pi/2$	48
รูปที่ 4.16 การตรวจสอบการซ้อนกันของผิวสามเหลี่ยมที่สร้างขึ้นใหม่.....	50
รูปที่ 4.17 ผิวสามเหลี่ยมวินเนอร์ (Winner Triangle) ถูกแยกเป็น 3 ผิว	51
รูปที่ 4.18 กรณีที่จะเกิดขึ้นในการพิจารณาการสร้างผิวสามเหลี่ยมรอบๆ ผิวสามเหลี่ยมใหม่.....	53
รูปที่ 4.19 การปรับตัวการเชื่อมโยงกันของโครงสร้างตามข่ายสามเหลี่ยม	54
รูปที่ 4.20 ไฟล์วชาร์ตของอัลกอริทึมการจัดการข้อมูลจุดและสร้างแบบจำลอง STL	57

สารบัญภาพ (ต่อ)

๙

ภาพประกอบ	หน้า
รูปที่ 5.1 การฉายแสงลงบนผิวของวัตถุ	60
รูปที่ 5.2 ข้อมูลจุดของผิวฟันปลอมที่ได้จากเครื่องมือวัดพิกัดแบบใช้อินเตอร์เฟอร์โรเมตริกซ์	61
รูปที่ 5.3 โครงสร้างตาข่ายสามเหลี่ยมของผิวฟันปลอม	61
รูปที่ 5.4 ภาพเรนเดอร์ (Render) แบบจำลองผิว STL ของผิวฟันปลอม	62
รูปที่ 5.5 การวัดผิววัตถุด้วยเครื่องมือวัดพิกัดแบบสัมผัส	62
รูปที่ 5.6 ข้อมูลจุดของผิวน้ำนมนุ่ยที่ได้จากเครื่องมือวัดพิกัดแบบใช้หัวprobe (Probe).....	63
รูปที่ 5.7 โครงสร้างตาข่ายสามเหลี่ยมของผิวน้ำนมนุ่ย	63
รูปที่ 5.8 ภาพเรนเดอร์ (Render) แบบจำลองผิว STL ของผิวน้ำนมนุ่ย	64
รูปที่ 5.9 การวัดพิกัด โดยการฉายແຕບແສງເລເຊອຣ์ลงบนผิวของวัตถุ	65
รูปที่ 5.10 ข้อมูลจุดของผิวขวดที่ได้จากเครื่องมือวัดพิกัดแบบใช้ແຕບແສງເລເຊອຣ์	65
รูปที่ 5.11 โครงสร้างตาข่ายสามเหลี่ยมของผิวขวด	66
รูปที่ 5.12 ภาพเรนเดอร์ (Render) แบบจำลองผิว STL ของผิวขวด	66
รูปที่ 5.13 ข้อมูลจุดของผิวแมสที่ได้จากเครื่องมือวัดพิกัดแบบใช้ແຕບແສງເລເຊອຣ์	67
รูปที่ 5.14 โครงสร้างตาข่ายสามเหลี่ยมของผิวแมส	67
รูปที่ 5.15 ภาพเรนเดอร์ (Render) แบบจำลองผิว STL ของผิวแมส	68
รูปที่ 5.16 ข้อมูลจุดของผิววัตถุ (Point Cloud)	69
รูปที่ 5.17 ผลลัพธ์ของข้อมูลจุดที่เหมาะสมสำหรับสร้างผิวสามเหลี่ยม ที่ค่าจำกัดความยาว $\rho = 5$	70
รูปที่ 5.18 ผลลัพธ์ของข้อมูลจุดที่เหมาะสมสำหรับสร้างผิวสามเหลี่ยม ที่ค่าจำกัดความยาว $\rho = 6$	70
รูปที่ 5.19 ผลลัพธ์ของข้อมูลจุดที่เหมาะสมสำหรับสร้างผิวสามเหลี่ยม ที่ค่าจำกัดความยาว $\rho = 10$	71
รูปที่ 5.20 ผลลัพธ์ของข้อมูลจุดที่เหมาะสมสำหรับสร้างผิวสามเหลี่ยม ที่ค่าจำกัดความยาว $\rho = 40$	72
รูปที่ 5.21 ภาพแบบจำลองผิวตาข่ายสามเหลี่ยมของผิวน้ำนมนุ่ย.....	73
รูปที่ 5.22 ทิศทางเวกเตอร์ตั้งฉากสำหรับแบบจำลอง STL ของผิวน้ำนมนุ่ย	73
รูปที่ 5.23 ทิศทางเวกเตอร์ตั้งฉากของแบบจำลอง STL ผิวน้ำนมนุ่ยและบริเวณที่ต้องการ	74
รูปที่ 5.24 ภาพแบบจำลองผิวตาข่ายสามเหลี่ยมของชิ้นงานที่มีผิวต่อเนื่อง.....	75
รูปที่ 5.25 ทิศทางเวกเตอร์ตั้งฉากสำหรับแบบจำลอง STL ของชิ้นงานที่มีผิวต่อเนื่อง	75

สารบัญภาพ (ต่อ)

๙

ภาพประกอบ	หน้า
รูปที่ 5.26 ภาพแบบจำลองผิวตาข่ายสามเหลี่ยมของชิ้นงานหุ้กกระทะ	76
รูปที่ 5.27 ทิศทางเวคเตอร์ตั้งจากสำหรับแบบจำลอง STL ชิ้นงานหุ้กกระทะ.....	76
รูปที่ 5.28 ภาพแบบจำลองผิวตาข่ายสามเหลี่ยมของชิ้นงานฟันปลอม	77
รูปที่ 5.29 ทิศทางเวคเตอร์ตั้งจากสำหรับแบบจำลอง STL ชิ้นงานฟันปลอม	78
รูปที่ 5.30 ภาพแบบจำลองผิวตาข่ายสามเหลี่ยมของชิ้นงานเบาะรถยนต์.....	79
รูปที่ 5.31 ทิศทางเวคเตอร์ตั้งจากสำหรับแบบจำลอง STL ชิ้นงานเบาะรถยนต์	80
รูปที่ 5.32 ภาพแบบจำลองผิวตาข่ายสามเหลี่ยมของชิ้นงานอะไหล่รถยนต์ที่ไม่สมบูรณ์	81
รูปที่ 5.33 ภาพแบบจำลองผิวตาข่ายสามเหลี่ยมของชิ้นงานอะไหล่รถยนต์ที่สมบูรณ์.....	81
รูปที่ 5.34 ทิศทางเวคเตอร์ตั้งจากสำหรับแบบจำลอง STL ของชิ้นงานอะไหล่รถยนต์.....	82
รูปที่ 5.35 แบบจำลองฟันปลอมสร้างจากเทคนิคในงานวิจัยที่ผ่านมากับ เทคนิคใหม่ที่พัฒนาขึ้น.....	82
รูปที่ 5.36 แบบจำลองผิวน้ำนมนุ่มยืดสร้างจากเทคนิคในงานวิจัยที่ผ่านมากับ เทคนิคใหม่ที่พัฒนาขึ้น.....	83
รูปที่ 6.1 ขบวนการสร้างแบบจำลองผิวของวัตถุโดยใช้คอมพิวเตอร์หลายตัว	88
รูปที่ ฯ.1 ข้อมูลจุดสำหรับการคัดแยกเข้าสู่พาร์ติชั่นเดียวกัน	96
รูปที่ ฯ.2 ตารางการคัดแยกข้อมูลจุดเข้าสู่พาร์ติชั่นเดียวกัน.....	97
รูปที่ ฯ.3 โครงสร้างสีบทอดสองระดับสำหรับการคัดแยกข้อมูลจุดเข้าสู่พาร์ติชั่นเดียวกัน	97
รูปที่ ฯ.4 ข้อมูลจุดสำหรับการคัดแยกเข้าสู่พาร์ติชั่นแตกต่างกัน	98
รูปที่ ฯ.5 ตารางการคัดแยกข้อมูลจุดเข้าสู่พาร์ติชั่นแตกต่างกัน	98
รูปที่ ฯ.6 โครงสร้างสีบทอดสองระดับสำหรับการคัดแยกข้อมูลจุดเข้าสู่พาร์ติชั่นแตกต่างกัน	99